

## Original Article

# Construction of a Plasmid Expressing MDA-7 Gene Modified by an iNGR Sequence and Its Evaluation for Apoptosis Induction in a Hepatocellular Cancer Cell Line

Ehsan Zare<sup>1</sup>, Seyed Ebrahim Hosseini<sup>2</sup>, Ghasem Mosayebi<sup>3</sup>, Majid Sadeghizadeh<sup>4</sup>, Tayebeh Hashempour<sup>5</sup>, Seyed Younes Hosseini<sup>6\*</sup>, Behzad Khansarnejad<sup>7\*\*</sup>

- 1- M.Sc., Department of Biotechnology, School of Medicine, Arak University of Medical Sciences, Arak, Iran  
2- Ph.D. Candidate, Gastroenterohepatology Research Center, Shiraz University of Medical Sciences, Shiraz, Iran  
3- Professor, Department of Biotechnology, School of Medicine, Arak University of Medical Sciences, Arak, Iran  
4- Professor, Department of Genetics, Faculty of Biological Sciences, Tarbiat Modares University, Tehran, Iran  
5- Assistant Professor, Alborzi Clinical Microbiology Research Center, Shiraz University of Medical Sciences, Shiraz, Iran  
6- Assistant Professor, Gastroenterohepatology Research Center, Shiraz University of Medical Sciences, Shiraz, Iran  
7- Assistant Professor, Department of Microbiology and Immunology, Arak University of Medical Sciences, Arak, Iran

\*Corresponding Address: P.O.Code: 7134845794, Gastroenterohepatology Research Center, Shiraz University of Medical Sciences, Shiraz, Iran  
Email: Hosseinisy22@yahoo.com

\*\*Corresponding Address: P.O.Code: 3819693345, Department of Microbiology and Immunology, Arak University of Medical Sciences, Arak, Iran  
Email: khansarinajade@gmail.com

Received: 06/Jan/2017, Accepted: 24/May/2017

### Abstract

**Objective:** Melanoma differentiation association gene-7 (MDA-7)/IL24 is a tumor suppressor gene. The iNGR peptide sequence, with excellent tropism to surface integrins has been employed for targeting of therapeutic molecules toward tumor cells. The purpose of our study was to construct a plasmid expressing modified MDA-7 fused with an iNGR peptide for better targeting to tumor cells.

**Methods:** At first, we amplified the MDA-7 sequence by PCR, while the reverse primer contained the iNGR peptide sequence to add it to the end of a new MDA-7 gene. The resultant MDA7-iNGR and MDA-7 were cloned into a pCDNA3.1 eukaryotic expression vector. The accuracy of cloning methods, integrity of the plasmids, and sequence were sequentially evaluated by digestions, colony-PCR, and sequencing. The expressions of the plasmid constructs were assayed by ELISA following their transfection into Ad-293 cells. Next, the plasmids were transfected into Hep-G2 cells and their mRNA were converted to cDNA. We assessed the gene expression levels of Gadd153 and Bax. As the final step, apoptosis induction of Hep-G2 cells following transfection was evaluated by the help of PI/Annexin V staining according to flow cytometry.

**Results:** The results showed the integrity of construct backbone in addition to reading frame of the MDA-7-iNGR sequence. A suitable expression/secretion of modified the MDA-7.iNGR protein was detected by ELISA assay of the culture supernatant when compared to the control construct that expressed unmodified MDA-7. The viability test demonstrated no benefit for this kind of modification of the MDA-7 protein. Real-time PCR and flow cytometry analyses revealed that the addition of iNGR to MDA-7 caused a decrease in its apoptotic effect on hepatic tumor cells compared to the normal protein. The modified protein had significant apoptosis induction compared to the negative control group ( $P < 0.01$ ).

**Conclusion:** Although the new pCDNA/MDA-7.iNGR plasmid expressed iNGR-fused MDA-7 protein efficiently, it could not improve the natural apoptosis property of normal MDA-7.

**Keywords:** MDA-7, iNGR peptide, Apoptosis, Tumor gene therapy

Pathobiology Research, Vol. 19 (2016-2017), No.4, Pages: 27-39

# ساخت سازه پلاسمیدی بیان کننده ژن mda-7 تغییر یافته به وسیله توالی iNGR و ارزیابی آن برای القای مرگ سلولی برنامه ریزی شده در رود سرطانی کبد

احسان زارع<sup>۱</sup>، سید ابراهیم حسینی<sup>۲</sup>، قاسم مصیبی<sup>۳</sup>، مجید صادقی زاده<sup>۴</sup>، طبیه هاشم پور<sup>۵</sup>، سید یونس حسینی<sup>۶\*</sup>،  
بهزاد خوانساری نژاد<sup>۷\*\*</sup>

- ۱- کارشناس ارشد، بخش بیوتکنولوژی پزشکی، دانشکده پزشکی، دانشگاه علوم پزشکی اراک، اراک، ایران
- ۲- دانشجوی دکتری تخصصی، مرکز تحقیقات کبد و گوارش، دانشگاه علوم پزشکی شیراز، شیراز، ایران
- ۳- استاد، بخش بیوتکنولوژی پزشکی، دانشکده پزشکی، دانشگاه علوم پزشکی اراک، اراک، ایران
- ۴- استاد، بخش ژنتیک، دانشکده علوم زیستی، دانشگاه تربیت مدرس، تهران، ایران
- ۵- استادیار، مرکز تحقیقات عفونی استاد البرزی، دانشگاه علوم پزشکی شیراز، شیراز، ایران
- ۶- استادیار، مرکز تحقیقات کبد و گوارش، دانشگاه علوم پزشکی شیراز، شیراز، ایران
- ۷- استادیار، بخش میکروب شناسی، دانشکده پزشکی، دانشگاه علوم پزشکی اراک، اراک، ایران

\*آدرس نویسنده مسئول: ایران، شیراز، کدپستی: ۷۱۳۴۸۴۵۷۹۴، دانشگاه علوم پزشکی شیراز، مرکز تحقیقات کبد و گوارش  
Email: Hosseinisy22@yahoo.com

\*\*آدرس نویسنده مسئول: ایران، اراک، کدپستی: ۳۸۱۹۶۹۳۳۴۵، دانشگاه علوم پزشکی اراک، دانشکده پزشکی، بخش میکروب شناسی  
Email: khansarinajade@gmail.com

پذیرش مقاله: ۹۶/۰۳/۰۳

دریافت مقاله: ۹۴/۱۰/۱۶

## چکیده

هدف: ژن 24-IL-mda-7 یک ژن سرکوب‌گر تومور است. پیتید iNGR با گرایش به اینتگرین‌های سطح سلول سرطانی در هدفمندسازی عوامل درمانی علیه سلول‌های توموری به کار گرفته شده است. هدف این مطالعه ساخت ژن 24-IL-mda-7 با متصل به پیتید iNGR و مقایسه فعالیت آن با ژن طبیعی است.

مواد و روش‌ها: در ابتدا، ژن mda-7 با استفاده از روش PCR تکثیر یافت. آغازگر برگشت حاوی توالی پیتید iNGR بود تا این توالی در انتهای ژن mda-7 ایجاد شود. توالی ژن تغییر یافته mda7/iNGR و mda7 (کنترل) در ناقل بیانی یوکاریوتی pCDNA3.1 دودمان‌سازی شدند. با استفاده از روش‌های هضم آنزیمی، PCR و colony-PCR و توالی بیانی درستی دودمان‌سازی، یکپارچگی ناقل‌ها و توالی آن‌ها ارزیابی شد. با استفاده از لیپوفکتمین سازه‌ها در سلول‌های Ad-293 ترانسفکت و توانایی آن‌ها برای بیان پروتئین نوترکیب با استفاده از آزمایش الیزا ارزیابی شد. در ادامه، این سازه‌ها به سلول‌های HepG2 ترانسفکت و بعد از استخراج mRNA با استفاده از روش Real time PCR بیان ژن‌های پیش آپوپتوزی Gadd153 و Bax اندازه‌گیری شد. با رنگ‌آمیزی Anexin/PI و فلوسیتومتری میزان مرگ برنامه‌ریزی شده در سلول HepG2 ارزیابی شد.

نتایج: نتایج درستی و یکپارچگی سازه‌ها را نشان داد. بیان مناسب و ترشح محصول iNGR با کنترل آن یعنی 7-mda با سوپ رویی قابل مقایسه بود. نتایج زنده مانی نشان‌گر عدم مفید بودن این تغییر بر پروتئین 7-mda بوده است. بررسی مرگ سلولی برنامه‌ریزی شده با سنجش بیان ژن و فلوسیتومتری نیز نشان داد که اتصال iNGR به 7-mda بر خاصیت مرگ‌زاوی آن تأثیر کاهنده داشته ولی در مقایسه با گروه کنترل منفی همچنان مرگ‌زاوی معنی داری دارد ( $P < 0.01$ ).

نتیجه گیری: ناقل بیانی pCDNA/Mda-7.iNGR با 7-mda متصل به iNGR را به طور مناسب بیان کرد ولی بر خاصیت مرگ‌زاوی طبیعی پروتئین تأثیر بهینه‌ای نداشت.

کلیدواژگان: 7-mda، iNGR، مرگ سلولی، ژن درمانی تومور

پژوهش‌های آسیب شناسی زیستی، دوره ۱۹، شماره ۴، زمستان ۱۳۹۵، صفحات: ۲۷-۳۹

## سازه پلاسمیدی بیان کننده ژن mda-7 تغییر یافته بواسیله توالی iNGR

درمانی با استفاده از سیتوکین ها شود [۴، ۵]. افزودن توالی RGD توسط محققان حاضر در مطالعه اخیر نشان گر تأثیر مثبت این توالی در میزان مرگ زایی پروتئین mda-7 بوده است [۶]. مطالعات پیشتر اما نتایج دیگری را از عدم مفید بودن هدفمندی با پیتید نشان داده است که البته همه با پیتید RGD انجام شده است [۷، ۸]. پیتید iNGR به عروق تومور و ایتگرین های (Integrins) ویژه مخصوص تومور متصل می شود و به میزان بیشتری نسبت به پیتیدهای RGD وارد بافت توموری می شود. توالی متصل شونده به تومور در این پیتید جدید توالی NGR (Asn\_Gly\_Arg) است که به CD13 اندوتیالی که یک آنزیم درگیر در رشد تومور و رگ زایی است متصل می شود [۹]. با این فرض که افزودن توالی رمزگذار دنباله پیتیدی iNGR به ژن mda-7 در افتراق نواحی توموری از نواحی معمولی و ورود محصول ژن به بافت تومور مؤثر خواهد بود و باعث بهبود هدفمندی آن به نواحی توموری می شود، طراحی و تولید سازه بیانی تولید کننده پروتئین mda-7 متصل به iNGR انجام شد و قابلیت بیان پروتئین نوترکیب توسط این سازه بررسی شد. در نهایت کارآمدی ژن تغییر یافته در سرکوب سلول سرطانی HepG2 با کارآمدی عملکرد ژن فاقد تغییر مقایسه شد. چنین محصولی به ما این امکان را خواهد بخشید که به بررسی بیشتر این پروتئین تغییر یافته در بروون تن و درون تن پیردادیم.

## مواد و روش ها

### Mda-7 و دودمان سازی ژن

پلاسمید بیانی mda-7 مادر از محققین مشغول به کار در این زمینه تهیه شد [هدیه از خانم دکتر استیفانی کریس (Dr. Stephanie Kreis)] که قبلاً در مقاله دیگری به آن اشاره شده است [۷]. پلاسمید در مقیاس مینی پرپ (Miniprep)

## مقدمه

melanoma differentiation associated ) mda-7 (Interleukin 24: IL-24) یا ایترلوکین ۲۴ (gene-7 عضوی از خانواده سیتوکین های IL- (Cytokines 10) ، نخستین بار در سال ۱۹۹۵ با روش دورگه سازی (Hybridization) افتراقی در سلول های ملانومایی کشف شد [۱]. IL-24/mda-7 IL-19، IL-22 و IL-26 ، نخستین بار در بافت های مرتبط با سیستم ایمنی به خصوص در منویت ها و همین طور کراتینو سیت ها (Keratinocytes) بیان می شود. جایگاه ژنومی، مشابه توالی پروتئینی و فراساختار های پروتئینی به علاوه الگوهای بیانی آن در مقایسه با سیتوکین های خانواده IL-10 منجر به تغییر نام mda-7 به ایتلولوکین ۲۴ شد و این ژن به عنوان عضو جدیدی از خانواده سیتوکین های IL-10 معرفی شد [۱، ۲].

افزایش بیان IL-24/mda-7 با استفاده از ناقل بیانی یا ویروس نوترکیب باعث مهار رشد و مرگ برنامه ریزی شده (Apoptosis) سلول های توموری مختلف از جمله پوست، پروستات (Prostate)، سینه، سیستم عصبی مرکزی، رحم، روده بزرگ (Colorectal) و ریه می شود [۳]. مسیرهای پیام رسانی و مولکول های پیامبر سلولی از جمله کاسپاز ها (Caspases)، پروتئین کیناز R وابسته به RNA (Protein Kinase R: PKR)، پروتئین کیناز فعال شونده با (Mitogen-activated protein kinases: MAPK) میتوژن (phosphatidylinositol-3-kinases) و ۳ کیناز فسفاتیدیل اینوزیتول (Endoplasmic stress (ER) Reticulum) در mda-7/IL-24 سلول سرطانی فعال می شوند و با القای مرگ برنامه ریزی شده سلولی باعث سرکوب تومور می شوند [۱].

استفاده از پیتیدهای مشخصی مثل RGD NGR (Arg-Gly Asp) (Arginylglycylaspartic acid) در اشکال مختلف می تواند سبب بهبود ژن

تکثیر یافته با کیت استخراج ژل خالص‌سازی شدند. سپس قطعه mda-7.iNGR خالص شده در ناقل هضم شده T4 DNA تخلیص یافته ۳.۱ pcDNA با استفاده از آنزیم لیگاز الحق شد (Fermentase، لیتوانی) و ۲۰۰ نانوگرم از محصول الحق با روش شیمیایی در باکتری میزبان اشیشیا کلی (*Escherichia coli: E. coli*) سویه DH5α ترانسفورم شدند.

باکتری‌های ترانسفورم شده روی محیط انتخابی حاوی آنتی‌بیوتیک آمپی سیلین (Ampicillin) غربال شدند. سپس برای تأیید دودمان‌سازی تعدادی از کلونی‌ها به صورت تصادفی انتخاب شدند و به عنوان الگوی PCR با استفاده از آغازگرهای رفت و برگشت (colony-PCR) بررسی شدند. درستی دودمان‌سازی و یکپارچگی ناقل‌ها با توالی‌یابی ناقل با استفاده از آغازگرهای رفت (جدول ۱) بررسی شد.

نهیه و استخراج شد. لازم به ذکر است تمامی مراحل این پژوهش در کمیته اخلاق در پژوهش‌های پزشکی با کد ۹۲-۱۶۰ تصویب شد.

در ابتدا توالی-7 mda با واکنش زنجیره‌ای پلیمر از (Polymerase chain reaction: PCR) تکثیر شد. آغازگر (Primer) برگشت حاوی توالی کدکننده پیتید iNGR بود که به منظور ساخت این توالی در انتهای ژن طراحی شد. PCR با استفاده از توالی‌های آغازگر رفت و برگشت (جدول ۱) با ۳۰ چرخه مطابق برنامه زمانی (جدول ۲) انجام گرفت. سپس محصول PCR به وسیله ژل الکتروفورز ۱ درصد تحلیل شد و در پی آن محصول PCR خالص‌سازی شد. سپس محصول PCR تخلیص شده و ناقل ۳.۱ pcDNA با آنزیم‌های محدود کننده EcoRV و XhoI هضم آنزیمی شدند (لیتوانی). محصول هضم آنزیمی ناقل و قطعه

جدول ۱ توالی آغازگرهای رفت و برگشت برای تکثیر ۷-iNGR و mda-7-iNGR

5'-CCCCGAT ATCGCCATGAATTCAACAGAG-3	توالی آغازگر رفت ۷-iNGR و Mda-7
**5'AAACTCGAGT CAGCCGCT GCGCCGAGCT GT AGAATTCTGCATC-3	توالی آغازگر برگشت ۷
***5'AAACTCGAGT CAGCAGT CGGGGCCCGCGGT TCCGGCA GCCGCTG CCGCCGAGCT GT AGAATTCTGCATC-3	توالی آغازگر برگشت Mda-7/iNGR

\*توالی مشخص شده با خط زیرین جایگاه برش آنزیم محدودگر EcoRV است.

\*\*توالی مشخص شده با خط زیرین جایگاه برش آنزیم محدودگر XhoI است.

\*\*\*توالی مشخص شده با خط زیرین پیوسته جایگاه برش آنزیم محدودگر XhoI و توالی مشخص شده با خط زیرین منقطع کدکننده پیتید iNGR است.

جدول ۲ برنامه زمانی PCR برای تکثیر قطعات ۷-iNGR و mda-7-iNGR

مرحله	دما (درجه سانتی‌گراد)	زمان	تعداد تکرار
واسرستگی اولیه (Primary Denaturation)	۹۵	۵ دقیقه	۱
واسرستگی (Annealing)	۹۵	۳۰ ثانیه	
اتصال (Extension)	۵۸	۳۰ ثانیه	۳۰
بسط (Final Extension)	۷۲	۵ دقیقه	۱
بسط نهایی (Final Extension)	۷۲	۵ دقیقه	

## آزمون الایزا (assay: ELISA)

بعد از کشت سلول های Ad-293 و ترانسفکشن ناقل های pCDNA3.1/Mda-7.iNGR و pCDNA3.1/Mda-7 (کترل منفی) محیط رویی سلول ها پس از ۴۸ ساعت جمع آوری شدند و با دور ۵۰۰۰ در دقیقه به مدت ۵ دقیقه سانتریفیوژ شدند. سپس غلظت 7-*mda* در مایع رویی سلول های Ad-293 با استفاده از کیت الایزا سنجش IL-24 انسانی eBioscience Inc. (آیالات متحده آمریکا) طبق دستورالعمل ارایه شده انجام شد. این آزمایش سه بار به طور مستقل انجام گرفت.

## تکنیک Real-Time PCR

بیان GADD153 و Bax با استفاده از روش real-time PCR ۴۸ ساعت پس از ترانسفکشن سلول های HepG2 با هریک pCDNA3.1/Mda-7.iNGR و pCDNA3.1/Mda-7.1NGR از سازه های RNA تام سلول با استفاده از محلول استخراج RNA، استخراج شد (سیناژن، ایران) و رونویسی معکوس با استفاده از کیت Invitrogen (آمریکا) انجام گرفت. پس از ساخت cDNA از نمونه های RNA استخراج شده بیان mRNA ژن های Bax و PGK به عنوان ژن کنترل داخلی در دو گروه مداخله و کنترل با استفاده از تکنیک و با کمک آغازگرهای جدول ۳ سنجش شد. Real-Time PCR سنجش شد (Maxima SYBR Green Time PCR Fermentase). بیان نسبی با استفاده از فرمول  $\Delta\Delta Ct$  انجام شد. در این مطالعه برای تحلیل آماری از نرم افزارهای Exel Graf pad prims استفاده شد. نتایج حاصل از آزمون های Real-Time PCR با استفاده از آزمون آماری ANOVA (Analysis of variance) و با مقایسه

## کشت سلولی و ترانسفکشن

رده سلولی HepG2 و Ad-293 از انسنتیتو پاس تور خریداری شد و در محیط DMEM (Modified Eagle's Medium) غنی شده با سرم گوساله ۱۰ درصد کشت داده شد. سلول Ad-293 به منظور بررسی قابلیت بیان سازه های نوترکیب استفاده شد. از طرف دیگر؛ برای مقایسه اثر مرگ زایی ژن های IL-24 و mda-7 از HepG2 که یک رده سرطانی کبدی است به کار گرفته شد. سلول های مورد استفاده در این آزمایش سه تا شش پاساژ داده شدند. برای ترانسفکت نمودن ناقل ها به درون سلول از محلول لیپوفکتامین ۲۰۰۰ (Lipofectamine 2000) از Invitrogen Inc. (آمریکا) و مطابق دستورالعمل شرکت pc/mda-7 و pc/mda-7.iNGR سازنده عمل شد. در کنار ناقل های CAG-GFP به منظور بررسی و کنترل ترانسفکشن استفاده شد.

## آزمون زنده مانی سلول

از آزمون 3-(4,5-Dimethylthiazol-2-Yl)-MTT [2,5-Diphenyltetrazolium Bromide] برای بررسی قابلیت زیست سلول های Ad-293 و HepG2 استفاده شد. به طور معمول  $5 \times 10^3$  سلول در هر چاهک پلیت ۹۶ خانه رشد داده شد. بعد از ۲۴ ساعت، ترانسفکشن pCDNA3.1/Mda-7.iNGR و pCDNA3.1/Mda-7.1NGR پس از ۲۰ میکرولیتر محلول MTT (درصد ۰/۵) به محیط افزوده شد و ۴ ساعت انکوبه شد. ۱۵۰ میکرولیتر محلول DMSO (Dimethyl sulfoxide) به هر چاهک اضافه شد تا محصول فورمازان (Formazan) را حل کند. جذب محلول رنگی در طول موج ۵۷۰ نانومتر با آسپکترو فوتومتر اندازه گیری شد. کل آزمایش ها سه بار انجام شد.

بافر اتصال  $\times 1$  افروده شد. در ادامه  $5$  میکرومولیتر از آنکسین  $V$  کونژگه با فلوروکروم (Fluorochrome-conjugated annexin  $v$ ) به  $100$  میکرومولیتر از سوسپانسیون سلولی اضافه شد. به مدت  $10$  دقیقه در دمای اتاق انکوبه شدند و سپس سلول‌ها با بافر اتصال  $\times 1$  شسته شدند و  $200$  میکرومولیتر از بافر اتصال  $\times 1$  به آن اضافه شد.  $5$  میکرومولیتر از محلول رنگ آمیزی پروپیدیوم یودید (Propidium iodide) اضافه شد. بعد از  $30$  دقیقه نگهداری در دمای  $4$  درجه سانتی‌گراد، با استفاده از فلوسیتومتری سلول‌های رنگ آمیزی شده شمارش شدند. تحلیل نهایی داده‌ها با استفاده از نرم‌افزار Flowjo انجام گرفت.

میانگین داده‌ها تحلیل شد.

### سنچش مرگ سلولی برنامه‌ریزی شده

سنچش مرگ سلولی برنامه‌ریزی شده با استفاده از کیت Annexin V Apoptosis Detection pCDNA3.1/Mda-7- HepG2 ترانسفکت شده با pCDNA3.1 ، iNTR سلول‌های PBS (Phosphate-buffered saline) و (Binding Buffer) شسته سپس یک بار با بافر اتصال  $\times 1$  شدند. سپس به غلظت نهایی  $3 \times 10^6$  در میلی‌لیتر از سلول‌ها،

جدول ۳ توالی آغازگرهای رفت و برگشت برای تکثیر GADD153، PGK و Bax

توالی ( $5'$ → $3'$ )	
GCCCTTTGCTTCAGGGTTCA	BAX F1
CAGCTTCTTGGTGGACGCAT	BAX R1
CACCTCCTGGAAATGAAGAGGAAG	GADD153 F
GAGGTGCTTGTGACCTCTGC	GADD153 R
TAAAGCCGAGGCCAGCCAAAA	PGK1 F1
CTCCTACCATGGAGCTGTGG	PGK R1

pCDNA3.1 Mda-7 و pCDNA3.1 Mda-7 pcDNA3.1 7.iNTR و ناقل خالی pCDNA3.1 (کنترل) به ترتیب حدود  $24$  درصد،  $23$  درصد و  $11$  درصد ارزیابی شد (شکل ۳). ناقل‌های pCDNA3.1 Mda-7 pcDNA3.1 Mda-7.iNTR به منظور بررسی میزان بیان نیز با استفاده از لیپوفکتامین به سلول‌های Ad-293 ترانسفکت شدند. بعد از  $48$  ساعت، مایع رویی سلول‌ها برداشت و با روش الیزی اختصاصی بررسی شدند. نتایج ELIZA نشان‌دهنده بیان Mda-7 در مقادیر  $8$  و  $7$  نانوگرم/میلی‌لیتر به ترتیب توسط ناقل‌های pCDNA3.1-Mda-7-iNTR و pCDNA3.1 میزان نوترکیب Mda-7 بودند که در مقایسه با بیان سلول‌های گروه کنترل (ترانسفکت شده با pCDNA3.1) کمتر از  $0.5$  نانوگرم/میلی‌لیتر بسیار بیشتر بود. تکرار آزمایش و بررسی آماری

### نتایج

pcDNA3.1 به عنوان ناقل بیانی برای بیان توالی Mda-7.iNTR در سلول‌های یوکاریوت انتخاب شد. پس از هضم آنزیمی قطعات تکثیر یافته و تخلیص شده Mda-7 و Mda-7.iNTR در ناقل بیانی هضم شده pcDNA3.1 دودمان‌سازی شد. برای تأیید همسان‌سازی Colony-PCR انجام شد (شکل ۱). همچنین درستی دودمان‌سازی و یکپارچگی ناقل‌ها با توالی بیانی ناقل تأیید شد (شکل ۲).

نتایج بررسی زنده مانی با استفاده از آزمون MTT نشان داد که میزان مرگ در سلول‌های  $293$  پس از ترانسفکشن  $24$  ساعته با پلاسمیدهای نوترکیب در مقایسه با گروه پلاسمید خالی از لحاظ آماری با یکدیگر تفاوت دارند ( $P < 0.05$ ). میزان مرگ و میر در سلول‌های ترانسفکت شده با ناقل‌های نوترکیب

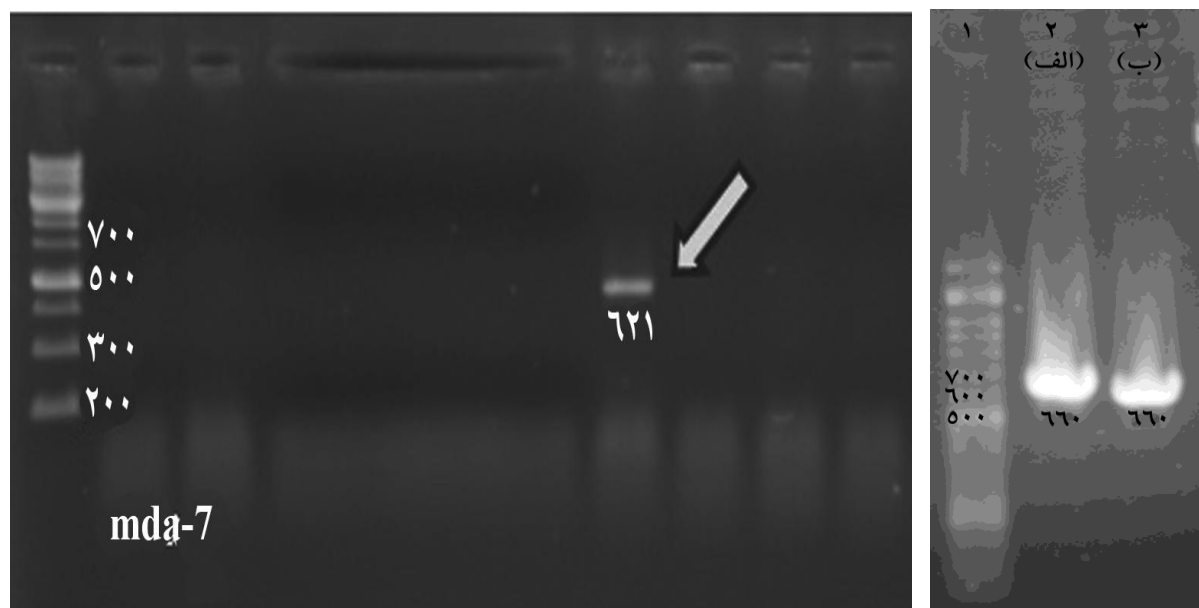
## سازه پلاسمیدی بیان کننده ژن 7-Tغییر یافته بواسیله توالی iNGR

تحلیل آماری نتایج نشان از آن داشت که افزایش بیان ژن‌های القاگر مرگ سلولی Gadd153 و Bax ناشی از القای سازه‌های نوترکیب به طور معنی‌داری نسبت به القای حاصل از سازه pCDNA3.1 تفاوت دارد با این وجود افزایش بیان ژن‌های القاگر مرگ سلولی Gadd153 و Bax ناشی از القای سازه‌های pCDNA3.1/Mda-7.iNGR و pCDNA3.1/Mda-7.

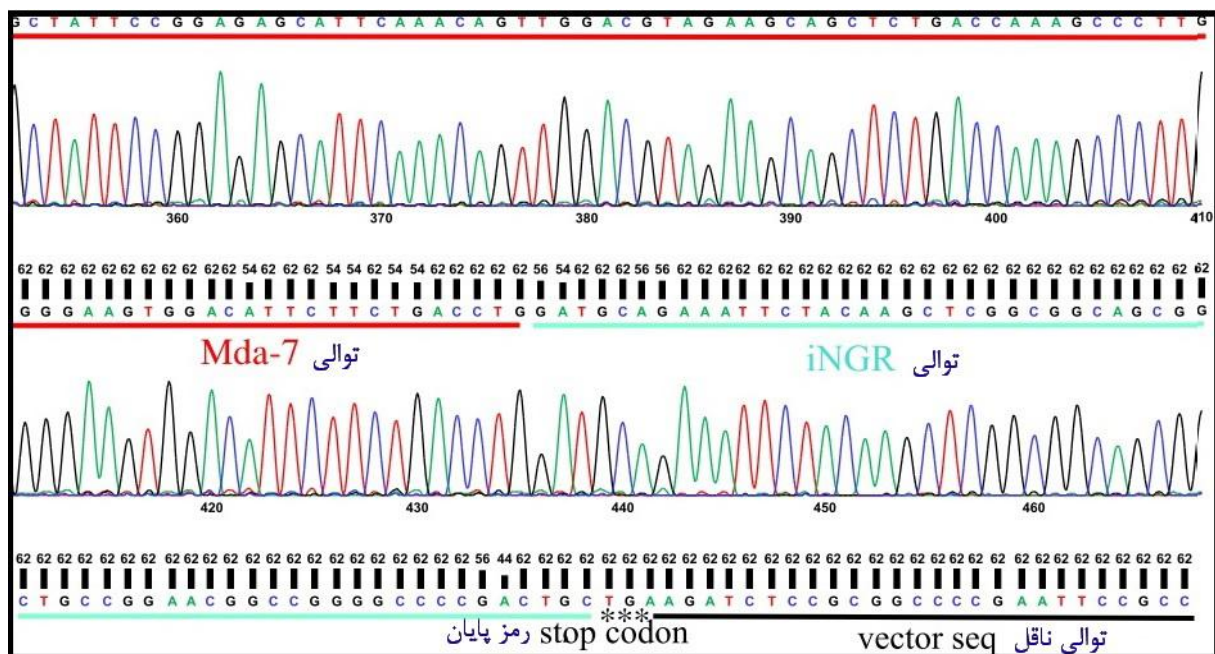
یکدیگر تفاوت معنی‌داری نشان نمی‌دهد. نتایج سنجش مرگ سلولی برنامه‌ریزی شده نیز در تأیید القای ژن‌های القاگر مرگ سلولی نشان دهنده آن است که افزایش بیان موقت ژن‌های 7.iNGR و mda-7.iNGR بر نامه‌ریزی شده سلول‌های سرطانی HepG2 را به‌طور معنی‌داری افزایش می‌دهد ولی القای مرگ سلولی برنامه‌ریزی شده ایجاد شده توسط هریک از آن‌ها تفاوت معنی‌داری نشان نمی‌دهد (شکل ۶).

تأیید کننده معنی‌دار بودن تفاوت بیان القا شده با هریک از ناقل‌های بیانی نوترکیب نسبت به ناقل بیانی فاقد ژن 7.mda-7 بود. از طرفی بیان القا شده با ناقل نوترکیب حاوی ژن تغییر یافته Mda-7.iNGR با بیان القا شده با ناقل نوترکیب حاوی ژن بدون تغییر 7.mda-7 تفاوت معنی‌داری نشان نمی‌داد (شکل ۴).

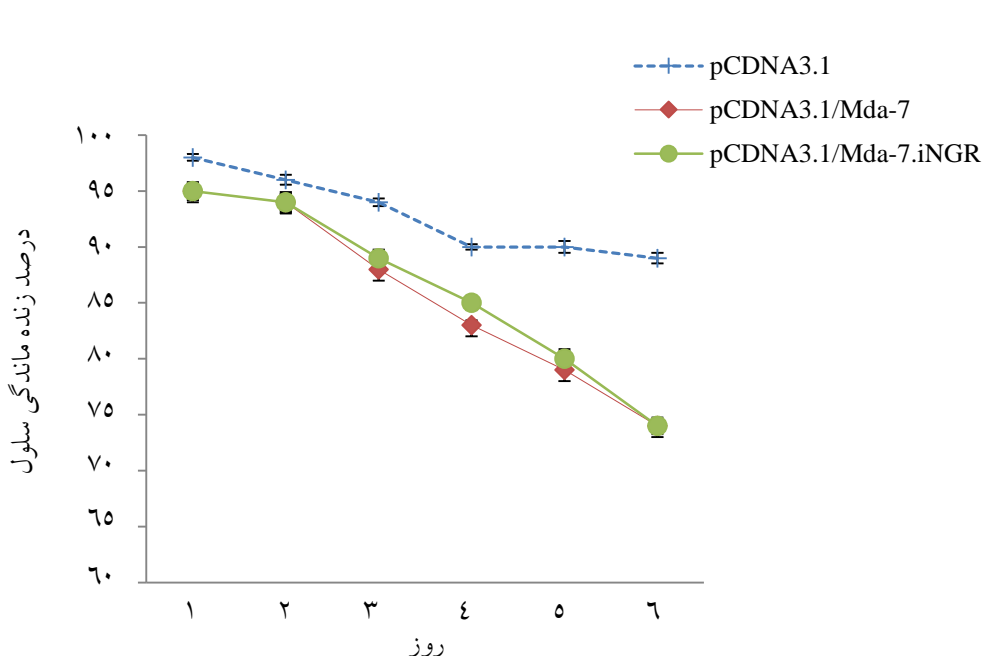
بررسی بیان ژن‌های القاگر مرگ سلولی در سلول‌های ترانسفکت شده با هریک از سازه‌های pCDNA3.1/Mda-7.pCDNA3.1 و pCDNA3.1/Mda-7.iNGR سازه‌های pCDNA3.1/Mda-7 و pCDNA3.1/Mda-7.iNGR به طور مشهود موجب افزایش بیان ژن‌های القاگر HepG2 مرگ سلولی Gadd153 و Bax در رده سرطانی HepG2 می‌شوند و چنانچه انتظار می‌رود سازه pCDNA3.1 بیان ژن‌های القاگر مرگ سلولی Gadd153 و Bax در سلول‌های سرطانی HepG2 ندارد (شکل ۵). تکرار آزمایش و



شکل ۱ colony-PCR برای بررسی وجود قطعات نوترکیب Mda-7.iNGR (راست) و Mda-7 (چپ) در کلونی‌های حاصل از ترانسفورم ناقل‌های نوترکیب pCDNA3.1-Mda-7.iNGR و pCDNA3.1-Mda-7.

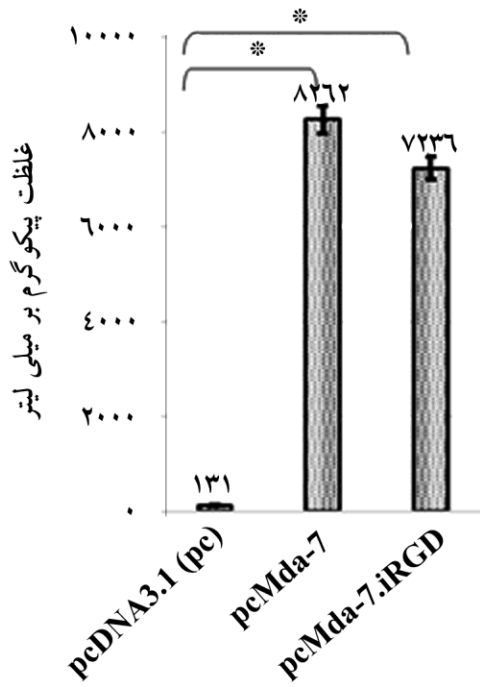


شکل ۲ تأیید توالی Mda-7.iNGR و حفظ چهارچوب صحیح خوانش در پیوستگی با توالی ناقل بیانی

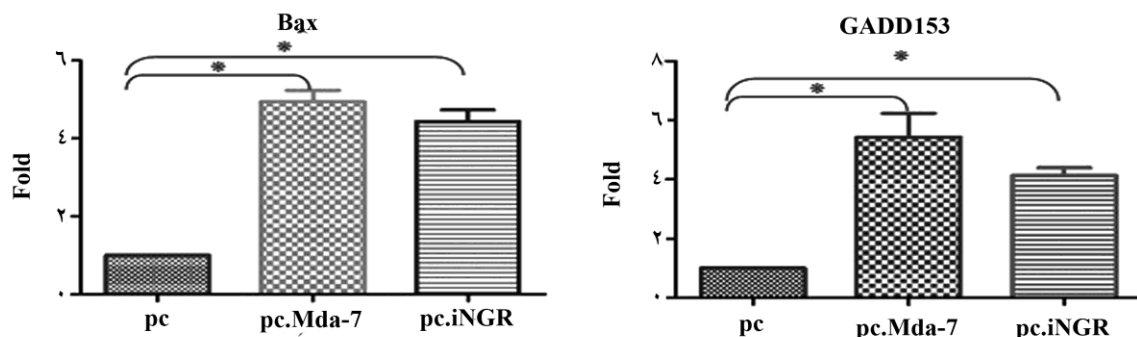


شکل ۳ بررسی زنده مانی سلول های HepG2 ترانسفکت شده با pCDNA3.1/Mda-7 و pCDNA3.1/Mda-7.iNGR در بازه زمانی شش روز با استفاده از آزمون MTT

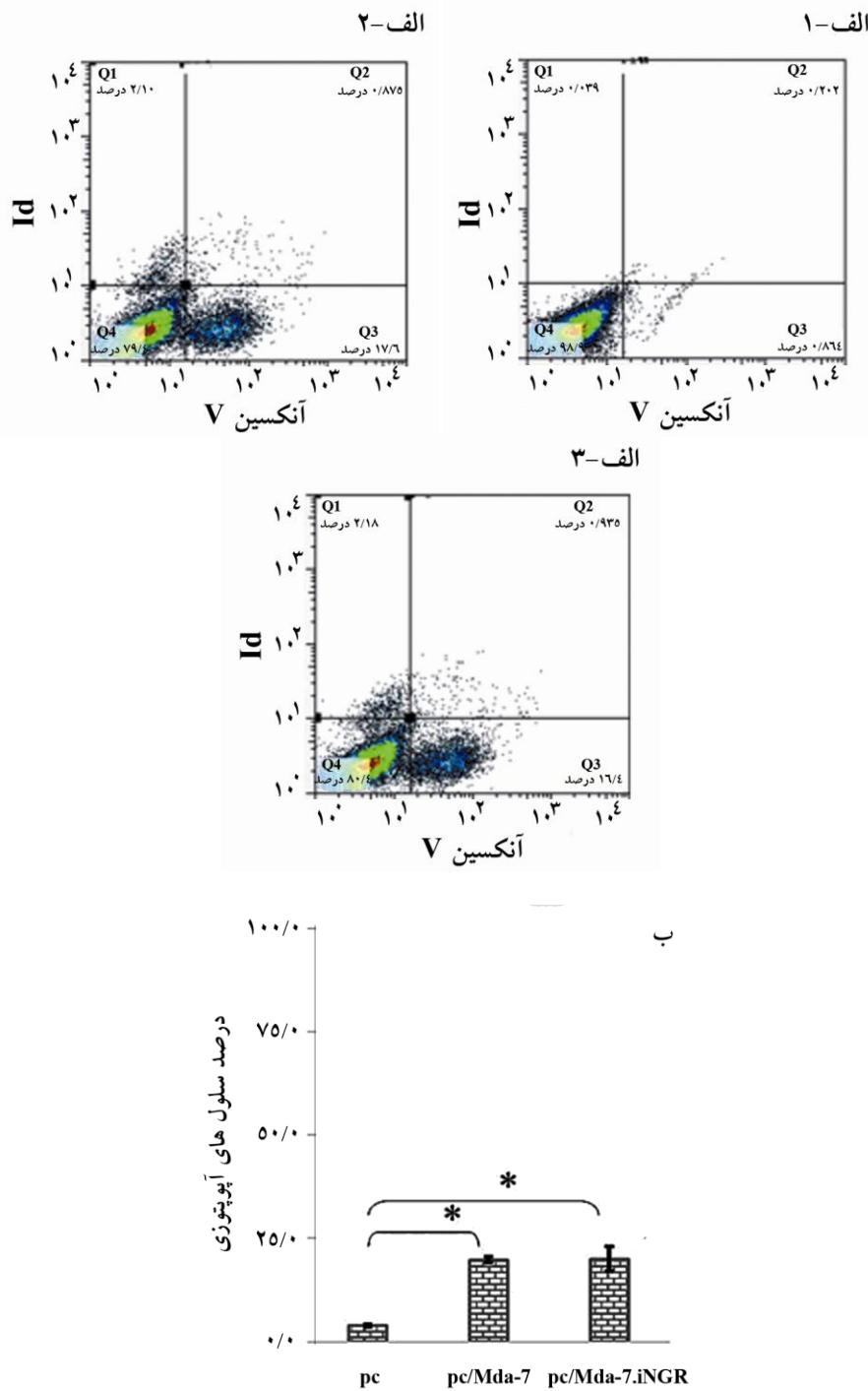
#### سازه پلاسمیدی بیان کننده ژن mda-7 تغییر یافته بواسیله توالی iNGR



شکل ۴ بررسی بیان ناقل‌های نوترکیب Mda-7.iNGR با انجام آزمایش اختصاصی ELISA میانگین غلظت پروتئین 7 mda-7 در سوب رویی سلول‌های Ad-293 ترانسفکت شده با هریک از ناقل‌های نوترکیب pc/Mda-7 و pc/Mda-7.iNGR نشان می‌دهد. ناقل خالی pCDNA3.1 به عنوان کنترل آزمایش استفاده شده است. نوار خطأ در بالای هر ستون معرف انحراف معیار سه آزمایش غیر وابسته است. علامت ستاره معنی دار بودن تفاوت دو گروه را در مقایسه با هم نشان می‌دهد.



شکل ۵ مقایسه افزایش بیان GADD153 و Bax در رده‌های سرتانی HepG2 ترانسفکت شده با ناقل‌های بیانی حاوی Mda-7 و Mda-7.iNGR نسبت به کنترل آزمایش [بیان ژن در سلول‌های ترانسفکت شده با ناقل pcDNA 3.1 (pc)]. هر ستون میانگین سه آزمایش مستقل است و نوار خطأ در بالای هر ستون معرف انحراف معیار سه آزمایش غیر وابسته است. علامت ستاره معنی دار بودن تفاوت دو گروه را در مقایسه با هم نشان می‌دهد.



شکل ۶ (الف) سنجش مرگ برنامه‌ریزی شده سلول‌های سرطانی HepG2 به دنبال انتقال پلاسمیدها، (الف-۱) گروه کنترل ترانسفکت شده با ناقل pcDNA 3.1، (الف-۲) گروه ترانسفکت شده با پلاسمید بیانی Mda-7 و (الف-۳) گروه ترانسفکت با پلاسمید بیانی Mda-7.iRGD. ناحیه Q2+Q3 درصد سلول‌های با مرگ برنامه‌ریزی شده سلولی را نشان می‌دهد. (ب) مقایسه میانگین درصد سلول‌های توموری با مرگ برنامه‌ریزی شده سلولی را در گروه‌های ترانسفکت شده با سازه‌های بیانی pcDNA3.1 و ناقل کنترل pc/Mda-7.iNGR، pc/Mda-7 معایضه کنترل است و نوار خطأ در بالای هر ستون معرف اتحراف معیار سه آزمایش غیر وابسته است. علامت ستاره معنی دار بودن تفاوت دو گروه را در مقایسه با هم نشان می‌دهد

## سازه پلاسمیدی بیان کننده ژن mda-7 تغییر یافته بوسیله توالی iNGR

### بحث

در مطالعه کنونی با هدف بهبود عملکرد ژن mda-7 برای سرکوب تومور، طراحی و تولید ناقل بیانی- pCDNA3.1-Mda-7.iNGR انجام شد. پلاسمید pcDNA3.1 در آزمایش‌های بسیاری استفاده شده است و کارآیی این پلاسمید به مانند این پروژه مورد مطلوب بوده است. نتایج بیان گر درستی توالی و تمامیت ناقل نوترکیب و همچنین درستی جهت ژن mda-7 بود. همچنین نتایج بررسی حاضر نشان داد که در سلول‌های Ad-293 که پلاسمیدهای pcDNA3.1-Mda-7 و pCDNA3.1-Mda-7.iNGR ترانسفکت شده بودند بیان mda-7 به طور قابل ملاحظه‌ای نسبت به گروه کنترل (سلول‌های ترانسفکت شده با pcDNA3.1) افزایش یافته بود. نکته مهم اینکه افزودن یک توالی iNGR به انتهای این پروتئین هیچ تغییر قابل توجهی در میزان تولید پروتئین نوترکیب به همراه نداشت. این موضوع بیان گر این است که توالی اخیر نمی‌تواند در انتقال، ترشح و درستی تولید پروتئین نوترکیب نهایی اختلالی ایجاد کند.

توالی پیتیدی iNGR به انتهای پروتئین مرگ‌زای mda-7 در سلول‌های HepG2 هیچ تأثیر سویی بر میزان بیان و ترشح آن نگذاشته و همچنین این پروتئین نیز روی سلول‌های طبیعی ۲۹۳ نیز خاصیت مرگ‌زایی ندارد. در مجموع افزودن توالی پیتیدی iNGR به انتهای پروتئین مرگ‌زای Mda-7 طبق نتایج فلوسیتومتری و Real-time PCR باعث افزایش خاصیت مرگ‌زایی این پروتئین نشد. این موضوع بایستی در محیط کامپیوتربی مجدد بررسی شود تا علت این مشکل روشن شود. به طور خلاصه، این مطالعه نشان می‌دهد که همیشه افزودن توالی پیتیدی در انتهای یک پروتئین مناسب کار ایمنی درمانی با سیتوکین‌ها نبوده و حتماً نیاز به بررسی بیشتری دارد. بایستی اذعان داشت که همیشه افزودن توالی پیتیدی برای اهداف هدفمندسازی پروتئین مناسب درمان نیست و گاهی می‌تواند حتی باعث اختلال در عملکرد طبیعی آن نیز شود. در همین راستا استفاده از پیتیدهای دیگر برای افزایش میزان مرگ سلولی برنامه‌ریزی شده توسط mda-7 با مطالعه قبلی کامپیوتربی و

در حال حاضر ژن پروتئین mda-7/IL-24 با توانایی مهار رشد و القای مرگ سلولی برنامه‌ریزی شده اختصاصی سلول‌های سرطانی، افزایش پاسخ ایمنی علیه تومور، نشان دادن خصوصیات ضد رگزایی و تقویت درمان‌های شیمی درمانی سرطان به عنوان یک ژن پروتئین سرکوب‌گر تومور در درمان سرطان بسیار مورد توجه است [۱۰-۱۲].

استفاده از پیتیدها در درمان سرطان دستاوردهای جدید و نوید بخش است. به کارگیری پیتیدها برای اتصال و هدایت پروتئین‌های درمان گر به جایگاه تومور می‌تواند با هدف گیری بهتر پروتئین درمان گر به سرکوب تومور کمک کند [۵، ۱۳-۱۵]. پیتیدهایی همانند NGR و RGD می‌توانند دارو را به سمت تومور سوق دهند و کارآیی درمان را افزایش دهند. لی (Lei) و همکارانش از یک اکتین ۱۵ کیلودالتونی تغییر یافته استفاده کردند که به پیتید NGR متصل می‌شد و آن نیز وارد تومور یا عروق توموری می‌شد [۱۵]. در این تحقیق مشخص شد که این پیتید می‌تواند با اتصال به داریست سلولی و اثر بر روی عملکرد داریست سلولی مرگ برنامه‌ریزی شده سلول‌های HepG2 و HeLa را القا کند. در مطالعه دیگر، پی (Pei) و همکارانش با جایگزینی اسید آمینه گلایسین مابین اسید آمینه‌های آرژنین و اسید گلوتامیک در توالی IL-24 و ایجاد RGD در آن کشف کردند که این تغییر، عملکرد القا مرگ برنامه‌ریزی شده سلول‌های توموری توسط RGD-IL-24 را افزایش می‌دهد، با این وجود بر عدم عملکرد آن بر سلول‌های طبیعی تأثیری نمی‌گذارد [۱۶]. این امر در مورد پروتئین mda-7 در چند مطالعه دیگر بررسی شد و نتایج مناسبی ایجاد شد [۱۶، ۶، ۵]. برای رسیدن به سلول‌های توموری و سلول‌های پارانشیمی مرتبط با تومور، داروها باید از سد عروقی عبور کنند و وارد بستر توموری شوند. هدفمندسازی پروتئین‌های درمان گر به RGD با کمک پیتیدهای هدف گیری مثل iNGR و می‌تواند به تعطیلی پروتئین در جایگاه توموری و ایجاد آثار درمانی بیشتر در این موضع کمک نماید [۱۳].

زارع در مقطع ارشد بیوتکنولوژی بوده است که بخشنی از آن با حمایت مالی دانشگاه علوم پزشکی اراک و بخش بیشتر آن نیز با حمایت دانشگاه علوم پزشکی شیراز (گرانت شماره 10679) انجام گرفته است. از پرسنل مرکز تحقیقات گوارش و کبد و نیز مرکز تحقیقات عفونی دکتر البرزی دانشگاه علوم پزشکی شیراز برای کمک در انجام آزمایش‌های تحقیق صمیمانه سپاسگزاریم.

مدل سازی و با دیگر پیتیدهای هدفمندکننده توصیه می‌شود. البته استفاده از همین پیتید نیز در نقاط دیگری از پروتئین برای بررسی میزان مرگ سلولی برنامه‌ریزی شده mda-7 نیز به نظر منطقی می‌رسد.

## تشکر و قدردانی

تحقیق حاضر، مربوط به رساله دانشجویی آقای احسان

## منابع

- [1] Lebedeva IV, Emdad L, Su ZZ, Gupta P, Sauane M, Sarkar D, Staudt MR, Liu SJ, Taher MM, Xiao R, Barral P, Lee SG, Wang D, Vozhilla N, Park ES, Chatman L, Boukerche H, Ramesh R, Inoue S, Chada S, Li R, De Pass AL, Mahasreshti PJ, Dmitriev IP, Curiel DT, Yacoub A, Grant S, Dent P, Senzer N, Nemunaitis JJ, Fisher PB. mda-7/IL-24, novel anticancer cytokine: focus on bystander antitumor, radiosensitization and antiangiogenic properties and overview of the phase I clinical experience (Review). *Int J Oncol* 2007; 31(5): 985-1007.
- [2] Sarkar D, Su ZZ, Lebedeva IV, Sauane M, Gopalkrishnan RV, Valerie K, Dent P, Fisher PB. mda-7 (IL-24) Mediates selective apoptosis in human melanoma cells by inducing the coordinated overexpression of the GADD family of genes by means of p38 MAPK. *Proc Natl Acad Sci U S A* 2002; 99(15): 10054-9.
- [3] Dent P, Yacoub A, Hamed HA, Park MA, Dash R, Bhutia SK, Sarkar D, Gupta P, Emdad L, Lebedeva IV, Sauane M, Su ZZ, Rahmani M, Broaddus WC, Young HF, Lesniak M, Grant S,
- Curiel DT, Fisher PB. MDA-7/IL-24 as a cancer therapeutic: from bench to bedside. *Anticancer Drugs* 2010; 21(8): 725-31.
- [4] Ruoslahti E. The RGD story: a personal account. *Matrix Biol* 2003; 22(6): 459-65.
- [5] Xiao B, Li W, Yang J, Guo G, Mao XH, Zou QM. RGD-IL-24, a novel tumor-targeted fusion cytokine: expression, purification and functional evaluation. *Mol Biotechnol* 2009; 41(2): 138-44.
- [6] Hosseini E, Hosseini SY, Hashempour T, Fattahi MR, Sadeghizadeh M. Effect of RGD coupled MDA-7/IL-24 on apoptosis induction in a hepatocellular carcinoma cell line. *Mol Med Rep* 2017; 15(1): 495-501.
- [7] Khodadad M, Hosseini SY, Shenavar F, Erfani N, Bina S, Ahmadian S, Fattahi MR, Hajhosseini R. Construction of expressing vectors including melanoma differentiation-associated gene-7 (mda-7) fused with the RGD sequences for better tumor targeting. *Iran J Basic Med Sci* 2015; 18(8): 780-7.
- [8] Bina S, Shenavar F, Khodadad M, Haghshenas MR, Mortazavi M, Fattahi MR, Erfani N, Hosseini SY. Impact of RGD Peptide Tethering

- to IL24/mda-7 (Melanoma Differentiation Associated Gene-7) on Apoptosis Induction in Hepatocellular Carcinoma Cells. *Asian Pac J Cancer Prev* 2015; 16(14): 6073-80.
- [9] Craig R, Cutrera J, Zhu S, Xia X, Lee YH, Li S. Administering plasmid DNA encoding tumor vessel-anchored IFN-alpha for localizing gene product within or into tumors. *Mol Ther* 2008; 16(5): 901-6.
- [10] Emdad L, Lebedeva IV, Su ZZ, Gupta P, Sauane M, Dash R, Grant S, Dent P, Curiel DT, Sarkar D, Fisher PB. Historical perspective and recent insights into our understanding of the molecular and biochemical basis of the antitumor properties of mda-7/IL-24. *Cancer Biol Ther* 2009; 8(5): 391-400.
- [11] Nishikawa T, Ramesh R, Munshi A, Chada S, Meyn RE. Adenovirus-mediated mda-7 (IL24) gene therapy suppresses angiogenesis and sensitizes NSCLC xenograft tumors to radiation. *Mol Ther* 2004; 9(6): 818-28.
- [12] Sieger KA, Mhashilkar AM, Stewart A, Sutton RB, Strube RW, Chen SY, Pataer A, Swisher SG, Grimm EA, Ramesh R, Chada S. The tumor suppressor activity of MDA-7/IL-24 is mediated by intracellular protein expression in NSCLC cells. *Mol Ther* 2004; 9(3): 355-67.
- [13] Assa-Munt N, Jia X, Laakkonen P, Ruoslahti E. Solution structures and integrin binding activities of an RGD peptide with two isomers. *Biochemistry* 2001; 40(8): 2373-8.
- [14] Dickerson EB, Akhtar N, Steinberg H, Wang ZY, Lindstrom MJ, Padilla ML, Auerbach R, Helfand SC. Enhancement of the antiangiogenic activity of interleukin-12 by peptide targeted delivery of the cytokine to alphavbeta3 integrin. *Mol Cancer Res* 2004; 2(12): 663-73.
- [15] Lei H, Cao P, Miao G, Lin Z, Diao Z. Expression and functional characterization of tumor-targeted fusion protein composed of NGR peptide and 15-kDa actin fragment. *Appl Biochem Biotechnol* 2010; 162(4): 988-95.
- [16] Pei DS, Yang ZX, Zhang BF, Yin XX, Li LT, Li HZ, Zheng JN. Enhanced apoptosis-inducing function of MDA-7/IL-24 RGD mutant via the increased adhesion to tumor cells. *J Interferon Cytokine Res* 2012; 32(2): 66-73.